

Ein und Ausgabe: Farbmetrisches Drucker-Reflektiv-System ORS20\_95, L\*=20\_95 für relative CIELAB-Bunnton  $h^* = lab^*h^* = h_{ab}/360 = 0.755$   $u^*_e = b00r$

Daten für jede Farbe:

$lab^*tch^*$  und  $lab^*icu^*$

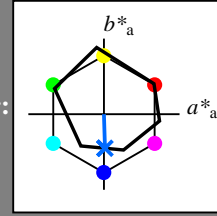
Bunntontexte:

$u^*_e = b00r$   $u^*_d = c58v$

Kontrastreduzierungsfaktor:

$c_R = 1.0$

Dreiecks-Helligkeit  $i^*$



ORS20\_95a; adaptierte CIELAB-Daten

	$u^*_e$	$L^*=L^*_a$	$a^*_a$	$b^*_a$	$C^*_{ab,a}$	$h^*_{ab,a}$
O <sub>Ma</sub>	46.89	66.19	40.28	77.48	31	
Y <sub>Ma</sub>	88.66	-9.62	88.21	88.73	96	
L <sub>Ma</sub>	54.22	-65.29	33.87	73.56	153	
C <sub>Ma</sub>	61.43	-30.53	-42.04	51.96	234	
V <sub>Ma</sub>	25.93	25.95	-47.37	54.01	299	
M <sub>Ma</sub>	47.92	73.53	-9.02	74.08	353	
N <sub>Ma</sub>	20.41	0.0	0.0	0.0	0	
W <sub>Ma</sub>	94.64	0.0	0.0	0.0	0	
R <sub>Ma</sub>	39.92	58.74	27.99	65.07	25	
J <sub>Ma</sub>	81.26	-2.89	71.56	71.62	92	
G <sub>Ma</sub>	52.23	-42.42	13.6	44.55	162	
B <sub>Ma</sub>	30.57	1.41	-46.47	46.49	272	

Daten für Maximalfarbe (Ma):

$LAB^*LAB^*_{Ma}$ : 41 1 -45

$LAB^*LCH^*_{Ma}$ : 41 45 271

$lab^*rgb^*_{Ma}$ : 0.0 0.0 1.0

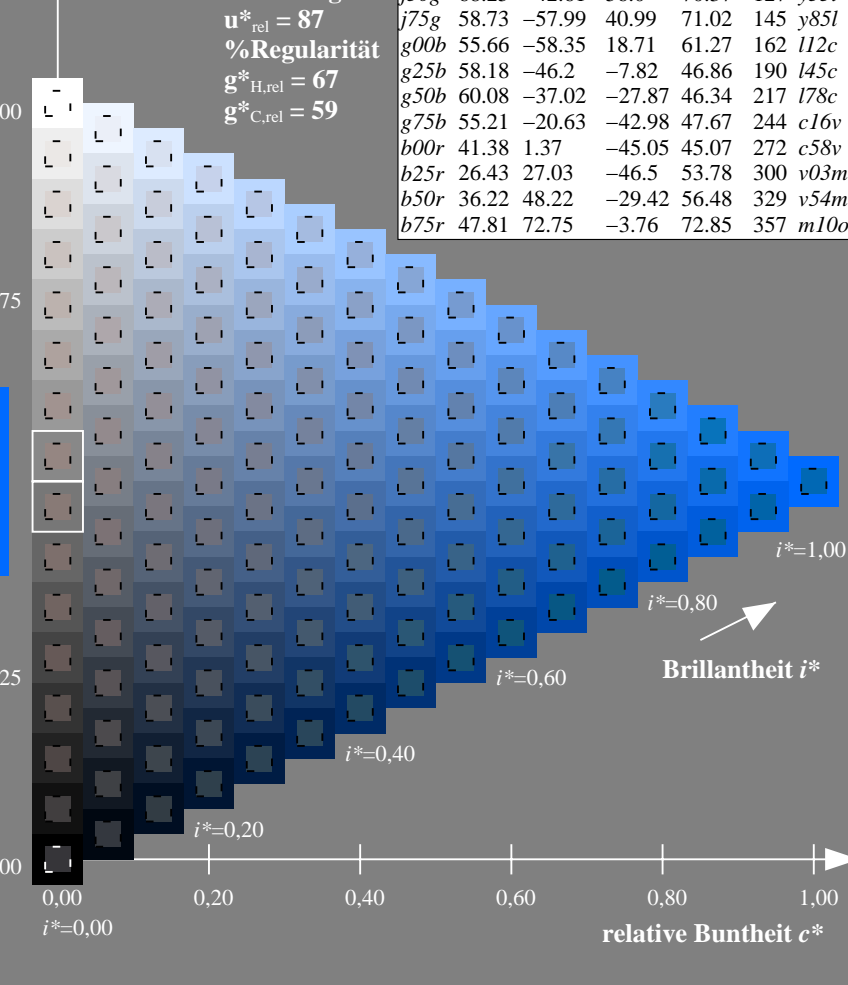
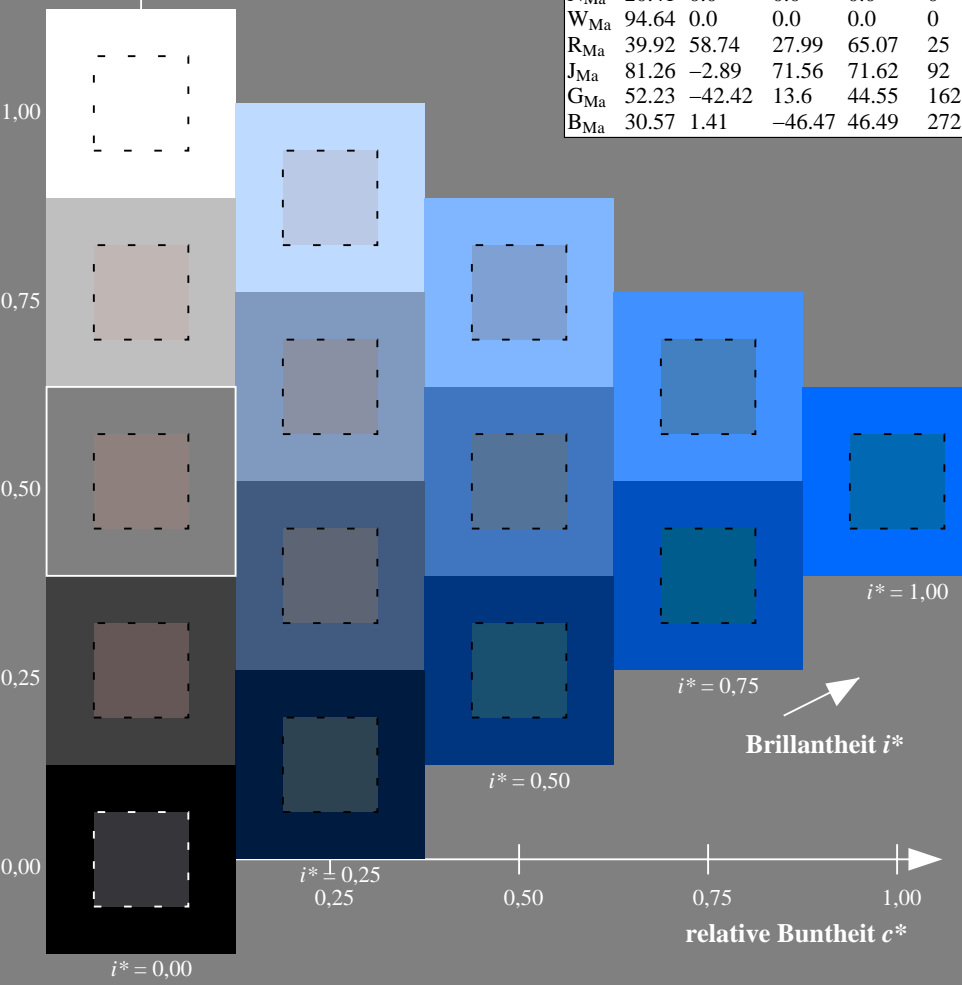
$lab^*olv^*_{Ma}$ : 0.0 0.42 1.0

Dreiecks-Helligkeit  $i^*$

%Umfang  
 $u^*_{rel} = 87$   
 %Regularität  
 $g^*_{H,rel} = 67$   
 $g^*_{C,rel} = 59$

ORS20\_95a; adaptierte CIELAB-Daten

	$u^*_e$	$L^*=L^*_a$	$a^*_a$	$b^*_a$	$C^*_{ab,a}$	$h^*_{ab,a}$	$u^*_d$
r00j	47.06	67.41	32.12	74.67	25	m84o	
r25j	53.95	53.38	48.38	72.04	42	o17y	
r50j	63.6	35.87	59.45	69.43	59	o42y	
r75j	73.37	18.14	70.66	72.95	76	o68y	
j00g	85.24	-3.4	84.28	84.35	92	o93y	
j25g	78.53	-25.99	72.23	76.76	110	y24l	
j50g	68.25	-42.61	56.0	70.37	127	y55l	
j75g	58.73	-57.99	40.99	71.02	145	y85l	
g00b	55.66	-58.35	18.71	61.27	162	l12c	
g25b	58.18	-46.2	-7.82	46.86	190	l45c	
g50b	60.08	-37.02	-27.87	46.34	217	l78c	
g75b	55.21	-20.63	-42.98	47.67	244	c16v	
b00r	41.38	1.37	-45.05	45.07	272	c58v	
b25r	26.43	27.03	-46.5	53.78	300	v03m	
b50r	36.22	48.22	-29.42	56.48	329	v54m	
b75r	47.81	72.75	-3.76	72.85	357	m10o	

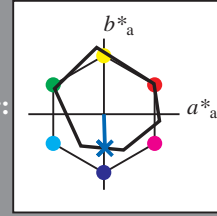


Siehe ähnliche Dateien: <http://www.ps.bam.de/Fg53/>; [www.ps.bam.de/Version 2.1, io=1,1, Colspx=1](http://www.ps.bam.de/Version%202.1,io=1,1,Colspx=1)  
 Technische Information: <http://www.ps.bam.de>

BAM-Registrierung: 20081001-Fg53/10L/L53g00NA.TXT/ .PS BAM-Material: Code=rhatha  
 Anwendung für Beurteilung und Messung von Drucker- oder Monitorssystemen

Ein und Ausgabe: Farbmetrisches Drucker-Reflektiv-System ORS20\_95, L\*=20\_95 für relativen CIELAB-Buntton  $h^* = lab^*h^* = h_{ab}/360 = 0.755$   $u^*_e = b00r$

Daten für jede Farbe:  
 $lab^*tch^*$  und  $lab^*icu^*$   
 Bunttontexte:  
 $u^*_e = b00r$   $u^*_d = c58v$   
 Kontrastreduzierungsfaktor:  
 $c_R = 1.0$   
 Dreiecks-Helligkeit  $i^*$



ORS20\_95a; adaptierte CIELAB-Daten

	$u^*_e$	$L^*=L^*_a$	$a^*_a$	$b^*_a$	$C^*_{ab,a}$	$h^*_{ab,a}$
O <sub>Ma</sub>	46.89	66.19	40.28	77.48	31	
Y <sub>Ma</sub>	88.66	-9.62	88.21	88.73	96	
L <sub>Ma</sub>	54.22	-65.29	33.87	73.56	153	
C <sub>Ma</sub>	61.43	-30.53	-42.04	51.96	234	
V <sub>Ma</sub>	25.93	25.95	-47.37	54.01	299	
M <sub>Ma</sub>	47.92	73.53	-9.02	74.08	353	
N <sub>Ma</sub>	20.41	0.0	0.0	0.0	0	
W <sub>Ma</sub>	94.64	0.0	0.0	0.0	0	
R <sub>Ma</sub>	39.92	58.74	27.99	65.07	25	
J <sub>Ma</sub>	81.26	-2.89	71.56	71.62	92	
G <sub>Ma</sub>	52.23	-42.42	13.6	44.55	162	
B <sub>Ma</sub>	30.57	1.41	-46.47	46.49	272	

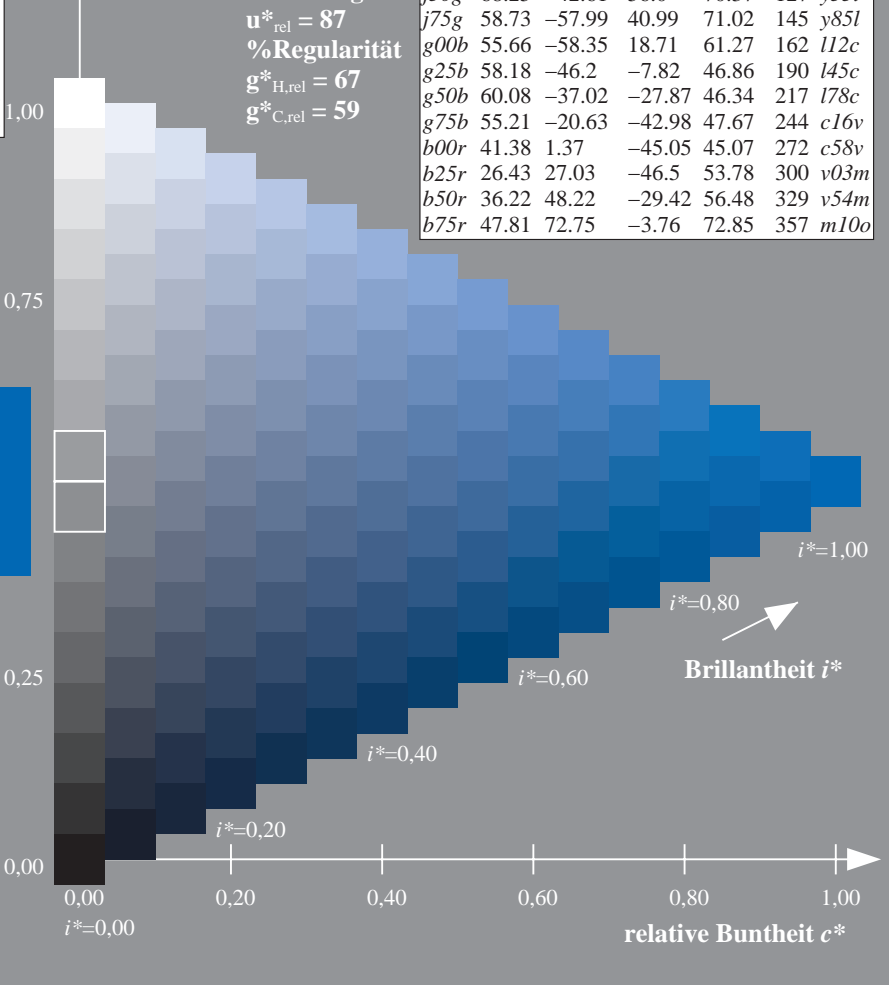
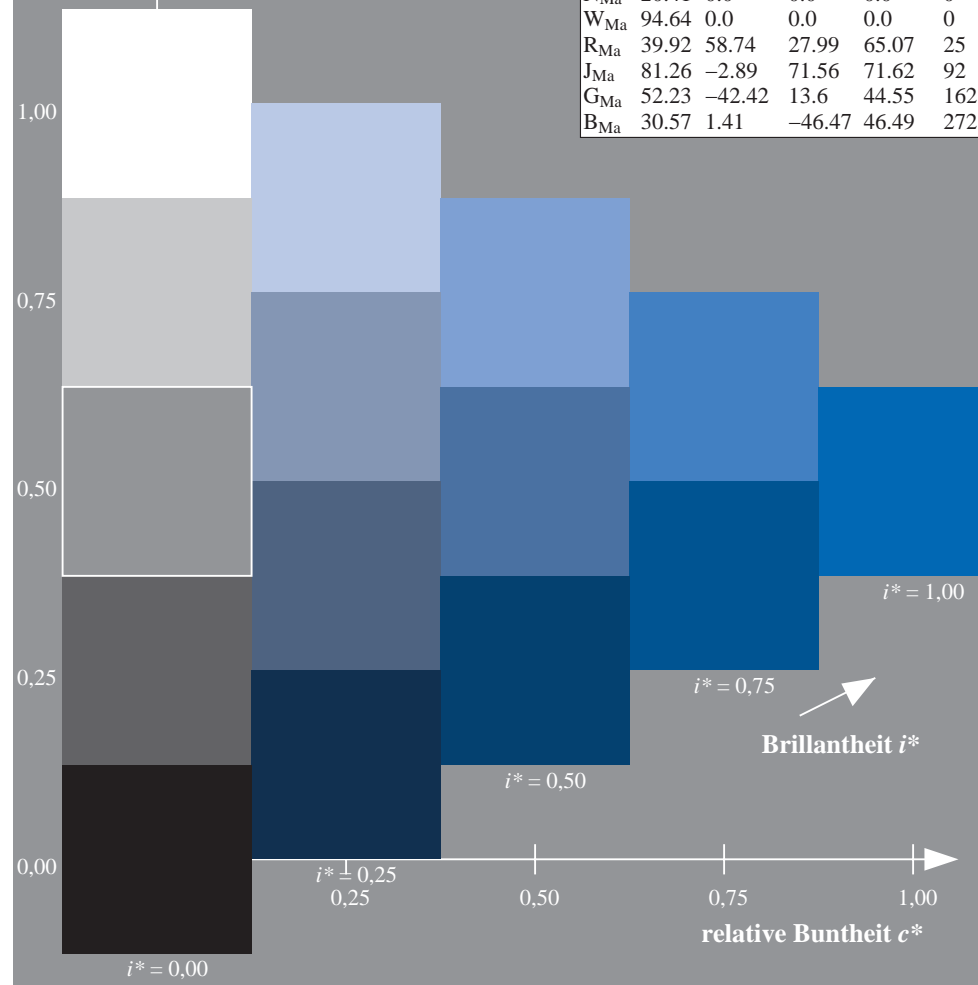
Daten für Maximalfarbe (Ma):

$LAB^*LAB^*_{Ma}$ : 41 1 -45  
 $LAB^*LCH^*_{Ma}$ : 41 45 271  
 $lab^*rgb^*_{Ma}$ : 0.0 0.0 1.0  
 $lab^*olv^*_{Ma}$ : 0.0 0.42 1.0

ORS20\_95a; adaptierte CIELAB-Daten

	$u^*_e$	$L^*=L^*_a$	$a^*_a$	$b^*_a$	$C^*_{ab,a}$	$h^*_{ab,a}$	$u^*_d$
r00j	47.06	67.41	32.12	74.67	25	m84o	
r25j	53.95	53.38	48.38	72.04	42	o17y	
r50j	63.6	35.87	59.45	69.43	59	o42y	
r75j	73.37	18.14	70.66	72.95	76	o68y	
j00g	85.24	-3.4	84.28	84.35	92	o93y	
j25g	78.53	-25.99	72.23	76.76	110	y24l	
j50g	68.25	-42.61	56.0	70.37	127	y55l	
j75g	58.73	-57.99	40.99	71.02	145	y85l	
g00b	55.66	-58.35	18.71	61.27	162	l12c	
g25b	58.18	-46.2	-7.82	46.86	190	l45c	
g50b	60.08	-37.02	-27.87	46.34	217	l78c	
g75b	55.21	-20.63	-42.98	47.67	244	c16v	
b00r	41.38	1.37	-45.05	45.07	272	c58v	
b25r	26.43	27.03	-46.5	53.78	300	v03m	
b50r	36.22	48.22	-29.42	56.48	329	v54m	
b75r	47.81	72.75	-3.76	72.85	357	m10o	

Dreiecks-Helligkeit  $i^*$   
 %Umfang  
 $u^*_{rel} = 87$   
 %Regularität  
 $g^*_{H,rel} = 67$   
 $g^*_{C,rel} = 59$

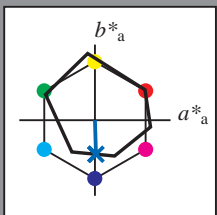


Siehe ähnliche Dateien: <http://www.ps.bam.de/Fg53/>; [www.ps.bam.de/Fg53/Version 2.1, io=1,1, Colspx=1](http://www.ps.bam.de/Fg53/Version%202.1,%20io=1,1,Colspx=1)  
 Technische Information: <http://www.ps.bam.de>

BAM-Registrierung: 20081001-Fg53/10L/L53g00NA.TXT/ .PS BAM-Material: Code=rh4ta  
 Anwendung für Beurteilung und Messung von Drucker- oder Monitorssystemen

Ein und Ausgabe: Farbmetrisches Drucker-Reflektiv-System ORS20\_95, L\*=20\_95 für relative CIELAB-Bunnton  $h^* = lab^*h^* = h^*_{ab}/360 = 0.755$   $u^*_e = b00r$   
 $lab^*olv^*$

Daten für jede Farbe:  
 $lab^*tch^*$  und  $lab^*icu^*$   
 Bunntontexte:  
 $u^*_e = b00r$   $u^*_d = c58v$   
 Kontrastreduzierungsfaktor:  
 $c_R = 1.0$   
 Dreiecks-Helligkeit  $i^*$



ORS20\_95a; adaptierte CIELAB-Daten

	$u^*_e$	$L^*=L^*_a$	$a^*_a$	$b^*_a$	$C^*_{ab,a}$	$h^*_{ab,a}$
O <sub>Ma</sub>	46.89	66.19	40.28	77.48	31	
Y <sub>Ma</sub>	88.66	-9.62	88.21	88.73	96	
L <sub>Ma</sub>	54.22	-65.29	33.87	73.56	153	
C <sub>Ma</sub>	61.43	-30.53	-42.04	51.96	234	
V <sub>Ma</sub>	25.93	25.95	-47.37	54.01	299	
M <sub>Ma</sub>	47.92	73.53	-9.02	74.08	353	
N <sub>Ma</sub>	20.41	0.0	0.0	0.0	0	
W <sub>Ma</sub>	94.64	0.0	0.0	0.0	0	
R <sub>Ma</sub>	39.92	58.74	27.99	65.07	25	
J <sub>Ma</sub>	81.26	-2.89	71.56	71.62	92	
G <sub>Ma</sub>	52.23	-42.42	13.6	44.55	162	
B <sub>Ma</sub>	30.57	1.41	-46.47	46.49	272	

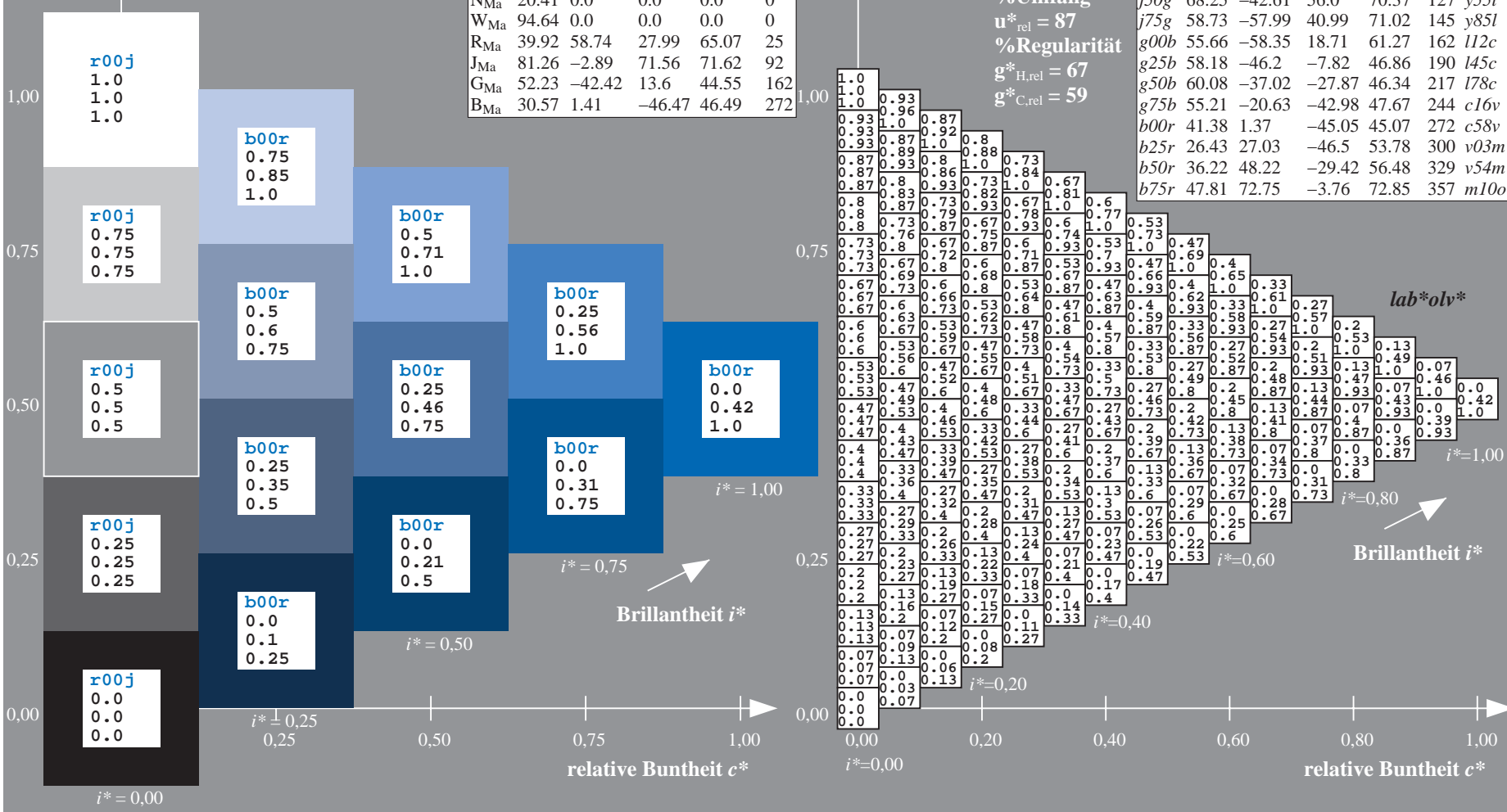
Daten für Maximalfarbe (Ma):

$LAB^*LAB^*_{Ma}$ : 41 1 -45  
 $LAB^*LCH^*_{Ma}$ : 41 45 271  
 $lab^*rgb^*_{Ma}$ : 0.0 0.0 1.0  
 $lab^*olv^*_{Ma}$ : 0.0 0.42 1.0

ORS20\_95a; adaptierte CIELAB-Daten

	$u^*_e$	$L^*=L^*_a$	$a^*_a$	$b^*_a$	$C^*_{ab,a}$	$h^*_{ab,a}$	$u^*_d$
r00j	47.06	67.41	32.12	74.67	25	m84o	
r25j	53.95	53.38	48.38	72.04	42	o17y	
r50j	63.6	35.87	59.45	69.43	59	o42y	
r75j	73.37	18.14	70.66	72.95	76	o68y	
j00g	85.24	-3.4	84.28	84.35	92	o93y	
j25g	78.53	-25.99	72.23	76.76	110	y24l	
j50g	68.25	-42.61	56.0	70.37	127	y55l	
j75g	58.73	-57.99	40.99	71.02	145	y85l	
g00b	55.66	-58.35	18.71	61.27	162	l12c	
g25b	58.18	-46.2	-7.82	46.86	190	l45c	
g50b	60.08	-37.02	-27.87	46.34	217	l78c	
g75b	55.21	-20.63	-42.98	47.67	244	c16v	
b00r	41.38	1.37	-45.05	45.07	272	c58v	
b25r	26.43	27.03	-46.5	53.78	300	v03m	
b50r	36.22	48.22	-29.42	56.48	329	v54m	
b75r	47.81	72.75	-3.76	72.85	357	m10o	

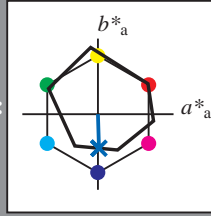
Dreiecks-Helligkeit  $i^*$   
 %Umfang  
 $u^*_{rel} = 87$   
 %Regularität  
 $g^*_{H,rel} = 67$   
 $g^*_{C,rel} = 59$



Siehe ähnliche Dateien: <http://www.ps.bam.de/Fg53/>; [www.ps.bam.de/Fg.HTM](http://www.ps.bam.de/Fg.HTM)  
 Technische Information: <http://www.ps.bam.de> Version 2.1, io=1,1, ColSpx=1

BAM-Registrierung: 20081001-Fg53/10L/L53g00NA.TXT/ .PS BAM-Material: Code=rhatha  
 Anwendung für Beurteilung und Messung von Drucker- oder Monitorssystemen

Ein und Ausgabe: Farbmetrisches Drucker-Reflektiv-System ORS20\_95, L\*=20\_95 für relative CIELAB-Bunnton  $h^* = lab^*h^* = h_{ab}^*/360 = 0.755$   $u^*_e = b00r$   
 Daten für jede Farbe:  $lab^*tch^*$  und  $lab^*icu^*$   
 Bunntontexte:  $u^*_e = b00r$   $u^*_d = c58v$   
 Kontrastreduzierungsfaktor:  $c_R = 1.0$   
 Dreiecks-Helligkeit  $t^*$



ORS20\_95a; adaptierte CIELAB-Daten

	$u^*_e$	$L^*=L^*_a$	$a^*_a$	$b^*_a$	$C^*_{ab,a}$	$h^*_{ab,a}$
O <sub>Ma</sub>	46.89	66.19	40.28	77.48	31	
Y <sub>Ma</sub>	88.66	-9.62	88.21	88.73	96	
L <sub>Ma</sub>	54.22	-65.29	33.87	73.56	153	
C <sub>Ma</sub>	61.43	-30.53	-42.04	51.96	234	
V <sub>Ma</sub>	25.93	25.95	-47.37	54.01	299	
M <sub>Ma</sub>	47.92	73.53	-9.02	74.08	353	
N <sub>Ma</sub>	20.41	0.0	0.0	0.0	0	
W <sub>Ma</sub>	94.64	0.0	0.0	0.0	0	
R <sub>Ma</sub>	39.92	58.74	27.99	65.07	25	
J <sub>Ma</sub>	81.26	-2.89	71.56	71.62	92	
G <sub>Ma</sub>	52.23	-42.42	13.6	44.55	162	
B <sub>Ma</sub>	30.57	1.41	-46.47	46.49	272	

Daten für Maximalfarbe (Ma):

$LAB^*LAB^*_{Ma}$ : 41 1 -45

$LAB^*LCH^*_{Ma}$ : 41 45 271

$lab^*rgb^*_{Ma}$ : 0.0 0.0 1.0

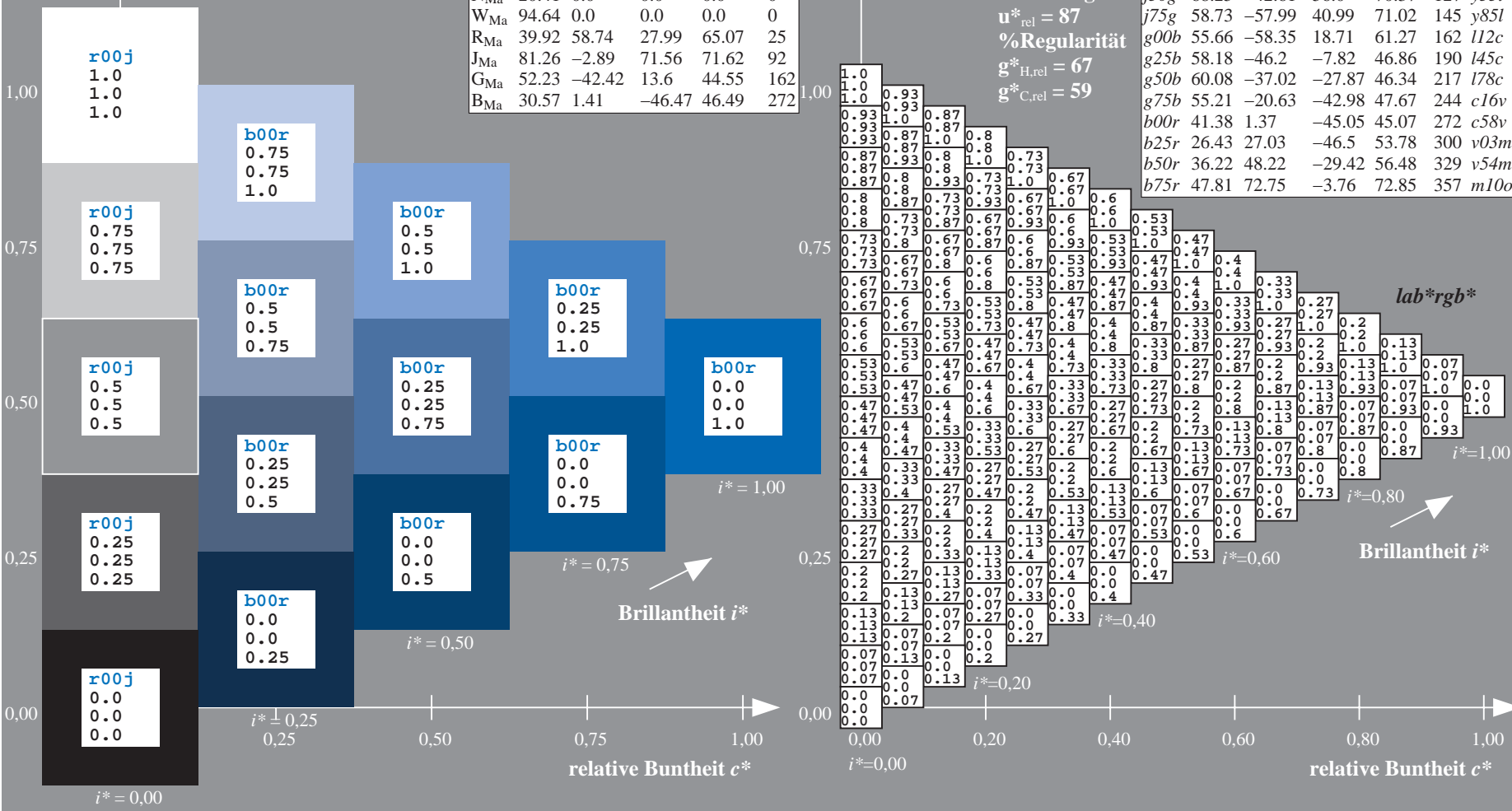
$lab^*olv^*_{Ma}$ : 0.0 0.42 1.0

Dreiecks-Helligkeit  $t^*$

%Umfang  
 $u^*_{rel} = 87$   
 %Regularität  
 $g^*_{H,rel} = 67$   
 $g^*_{C,rel} = 59$

ORS20\_95a; adaptierte CIELAB-Daten

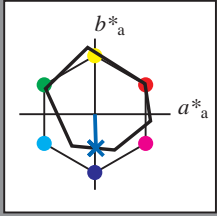
	$u^*_e$	$L^*=L^*_a$	$a^*_a$	$b^*_a$	$C^*_{ab,a}$	$h^*_{ab,a}$	$u^*_d$
r00j	47.06	67.41	32.12	74.67	25	m84o	
r25j	53.95	53.38	48.38	72.04	42	o17y	
r50j	63.6	35.87	59.45	69.43	59	o42y	
r75j	73.37	18.14	70.66	72.95	76	o68y	
j00g	85.24	-3.4	84.28	84.35	92	o93y	
j25g	78.53	-25.99	72.23	76.76	110	y24l	
j50g	68.25	-42.61	56.0	70.37	127	y55l	
j75g	58.73	-57.99	40.99	71.02	145	y85l	
g00b	55.66	-58.35	18.71	61.27	162	l12c	
g25b	58.18	-46.2	-7.82	46.86	190	l45c	
g50b	60.08	-37.02	-27.87	46.34	217	l78c	
g75b	55.21	-20.63	-42.98	47.67	244	c16v	
b00r	41.38	1.37	-45.05	45.07	272	c58v	
b25r	26.43	27.03	-46.5	53.78	300	v03m	
b50r	36.22	48.22	-29.42	56.48	329	v54m	
b75r	47.81	72.75	-3.76	72.85	357	m10o	



BAM-Registrierung: 20081001-Fg53/10L/L53g00NA.TXT/ .PS BAM-Material: Code=rhatha  
 Anwendung für Beurteilung und Messung von Drucker- oder Monitorssystemen



Ein und Ausgabe: Farbmetrisches Drucker-Reflektiv-System ORS20\_95, L\*=20\_95 für relative CIELAB-Buntton  $h^* = lab^*h^* = h_{ab}/360 = 0.755$   $u^*_e = b00r$   
 Daten für jede Farbe:  $LAB^*LAB^*_a$   
 $lab^*tch^*$  und  $lab^*icu^*$   
 $u^*_e = b00r$   $u^*_d = c58v$   
 Kontrastreduzierungsfaktor:  
 $c_R = 1.0$   
 Dreiecks-Helligkeit  $i^*$



ORS20\_95a; adaptierte CIELAB-Daten

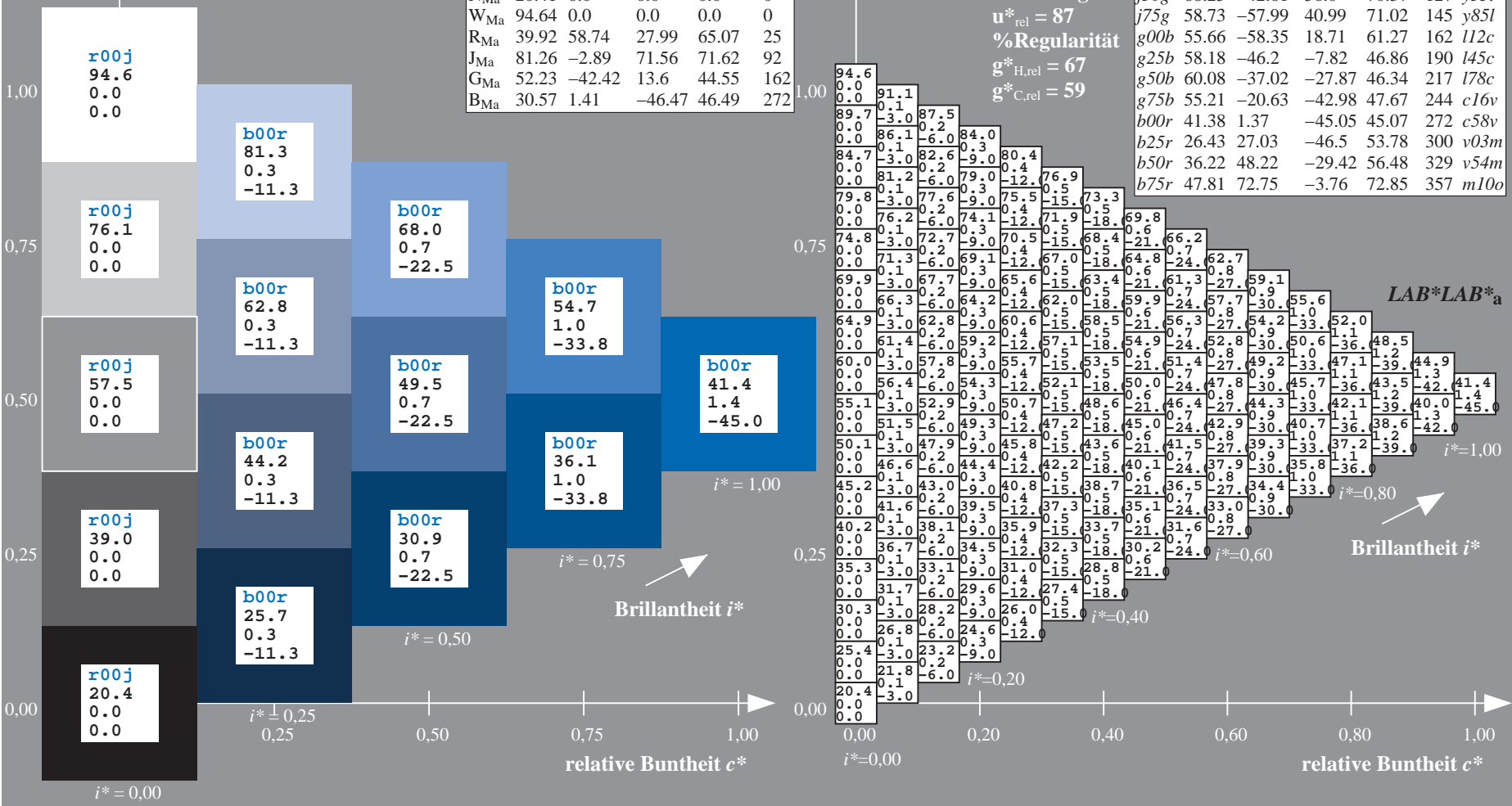
	$u^*_e$	$L^*=L^*_a$	$a^*_a$	$b^*_a$	$C^*_{ab,a}$	$h^*_{ab,a}$
O <sub>Ma</sub>	46.89	66.19	40.28	77.48	31	
Y <sub>Ma</sub>	88.66	-9.62	88.21	88.73	96	
L <sub>Ma</sub>	54.22	-65.29	33.87	73.56	153	
C <sub>Ma</sub>	61.43	-30.53	-42.04	51.96	234	
V <sub>Ma</sub>	25.93	25.95	-47.37	54.01	299	
M <sub>Ma</sub>	47.92	73.53	-9.02	74.08	353	
N <sub>Ma</sub>	20.41	0.0	0.0	0.0	0	
W <sub>Ma</sub>	94.64	0.0	0.0	0.0	0	
R <sub>Ma</sub>	39.92	58.74	27.99	65.07	25	
J <sub>Ma</sub>	81.26	-2.89	71.56	71.62	92	
G <sub>Ma</sub>	52.23	-42.42	13.6	44.55	162	
B <sub>Ma</sub>	30.57	1.41	-46.47	46.49	272	

Daten für Maximalfarbe (Ma):  
 $LAB^*LAB^*_Ma: 41\ 1\ -45$   
 $LAB^*LCH^*_Ma: 41\ 45\ 271$   
 $lab^*rgb^*_Ma: 0.0\ 0.0\ 1.0$   
 $lab^*olv^*_Ma: 0.0\ 0.42\ 1.0$

ORS20\_95a; adaptierte CIELAB-Daten

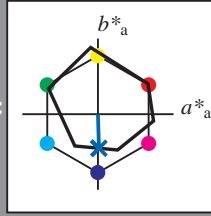
	$u^*_e$	$L^*=L^*_a$	$a^*_a$	$b^*_a$	$C^*_{ab,a}$	$h^*_{ab,a}$	$u^*_d$
r00j	47.06	67.41	32.12	74.67	25	m84o	
r25j	53.95	53.38	48.38	72.04	42	o17y	
r50j	63.6	35.87	59.45	69.43	59	o42y	
r75j	73.37	18.14	70.66	72.95	76	o68y	
j00g	85.24	-3.4	84.28	84.35	92	o93y	
j25g	78.53	-25.99	72.23	76.76	110	y24l	
j50g	68.25	-42.61	56.0	70.37	127	y55l	
j75g	58.73	-57.99	40.99	71.02	145	y85l	
g00b	55.66	-58.35	18.71	61.27	162	l12c	
g25b	58.18	-46.2	-7.82	46.86	190	l45c	
g50b	60.08	-37.02	-27.87	46.34	217	l78c	
g75b	55.21	-20.63	-42.98	47.67	244	c16v	
b00r	41.38	1.37	-45.05	45.07	272	c58v	
b25r	26.43	27.03	-46.5	53.78	300	v03m	
b50r	36.22	48.22	-29.42	56.48	329	v54m	
b75r	47.81	72.75	-3.76	72.85	357	m10o	

Dreiecks-Helligkeit  $i^*$   
 %Umfang  
 $u^*_{rel} = 87$   
 %Regularität  
 $g^*_{H,rel} = 67$   
 $g^*_{C,rel} = 59$



BAM-Registrierung: 20081001-Fg53/10L/L53g00NA.TXT/ .PS BAM-Material: Code=rhatha  
 Anwendung für Beurteilung und Messung von Drucker- oder Monitorssystemen

Ein und Ausgabe: Farbmetrisches Drucker-Reflektiv-System ORS20\_95, L\*=-20\_95 für relative CIELAB-Buntton  $h^* = lab^*h^* = h_{ab}^*/360 = 0.755$   $u^*_e = b00r$   
 Daten für jede Farbe:  $lab^*tch^*$  und  $lab^*icu^*$  **LAB\*LCH\*<sub>a</sub>**  
 Bunttontexte:  $u^*_e = b00r$   $u^*_d = c58v$   
 Kontrastreduzierungsfaktor:  $c_R = 1.0$   
 Dreiecks-Helligkeit  $i^*$



**ORS20\_95a; adaptierte CIELAB-Daten**

	$u^*_e$	$L^*=-L^*_a$	$a^*_a$	$b^*_a$	$C^*_{ab,a}$	$h^*_{ab,a}$
O <sub>Ma</sub>	46.89	66.19	40.28	77.48	31	
Y <sub>Ma</sub>	88.66	-9.62	88.21	88.73	96	
L <sub>Ma</sub>	54.22	-65.29	33.87	73.56	153	
C <sub>Ma</sub>	61.43	-30.53	-42.04	51.96	234	
V <sub>Ma</sub>	25.93	25.95	-47.37	54.01	299	
M <sub>Ma</sub>	47.92	73.53	-9.02	74.08	353	
N <sub>Ma</sub>	20.41	0.0	0.0	0.0	0	
W <sub>Ma</sub>	94.64	0.0	0.0	0.0	0	
R <sub>Ma</sub>	39.92	58.74	27.99	65.07	25	
J <sub>Ma</sub>	81.26	-2.89	71.56	71.62	92	
G <sub>Ma</sub>	52.23	-42.42	13.6	44.55	162	
B <sub>Ma</sub>	30.57	1.41	-46.47	46.49	272	

Daten für Maximalfarbe (Ma):

$LAB^*LAB^*_Ma$ : 41 1 -45

$LAB^*LCH^*_Ma$ : 41 45 271

$lab^*rgb^*_Ma$ : 0.0 0.0 1.0

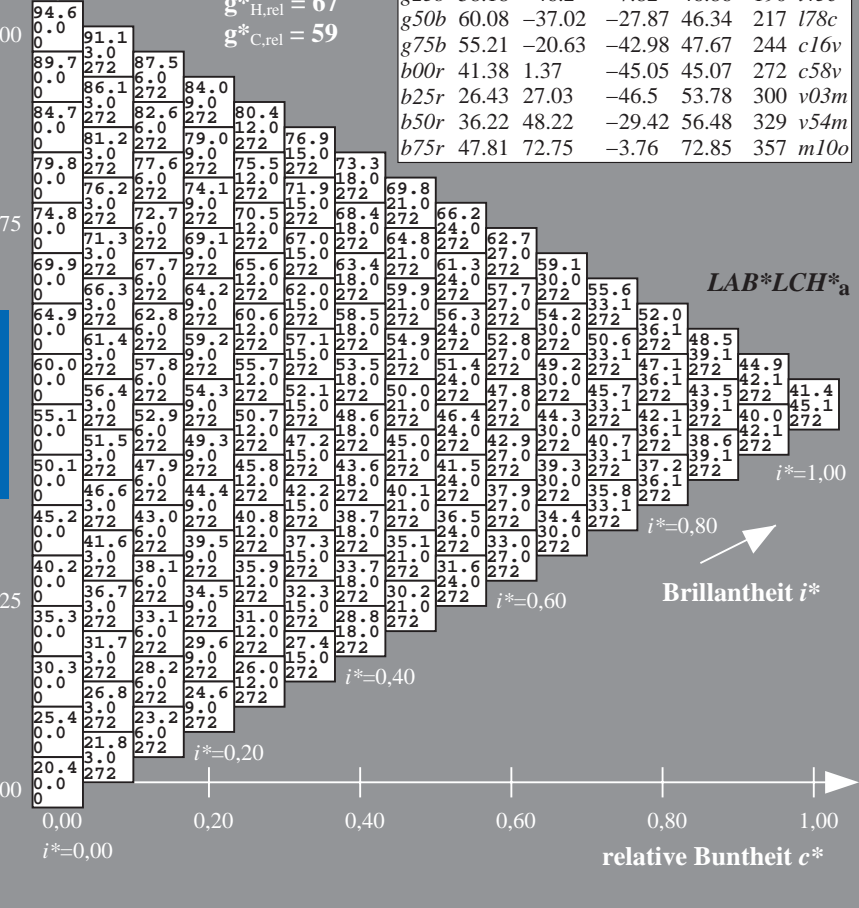
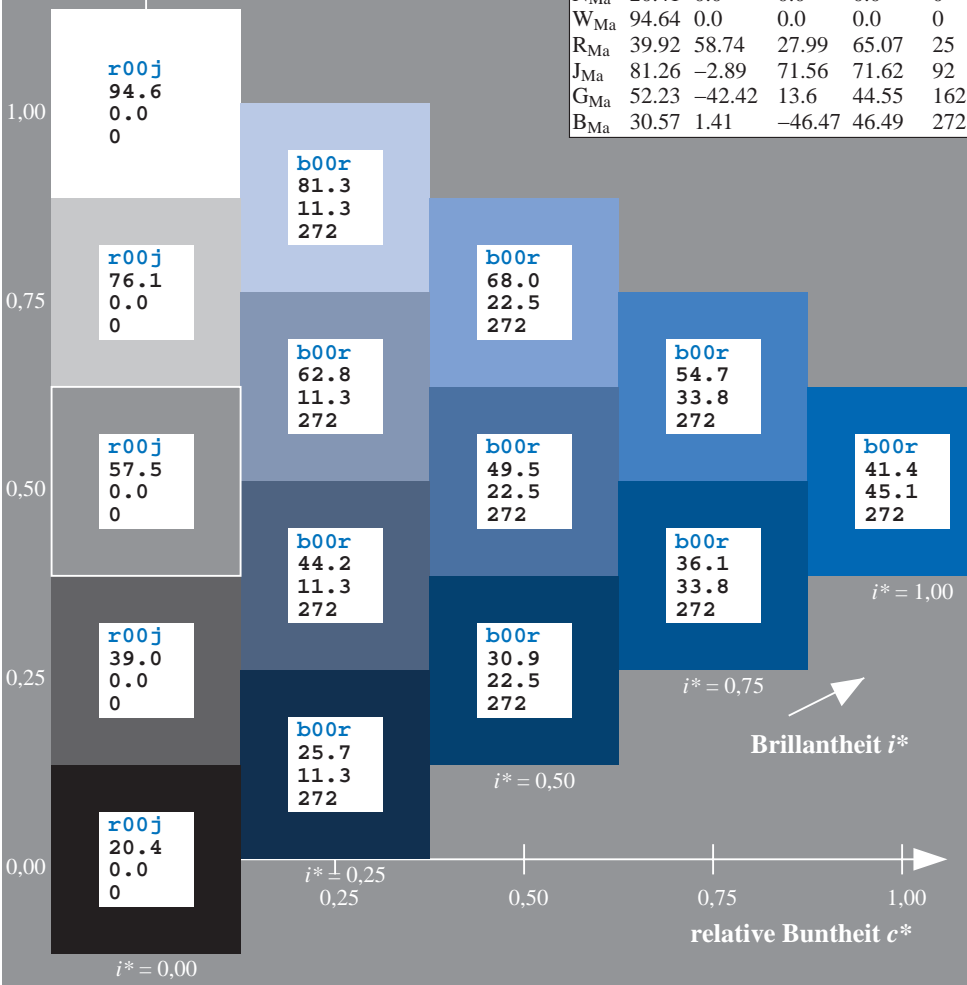
$lab^*olv^*_Ma$ : 0.0 0.42 1.0

Dreiecks-Helligkeit  $i^*$

%Umfang  
 $u^*_{rel} = 87$   
 %Regularität  
 $g^*_{H,rel} = 67$   
 $g^*_{C,rel} = 59$

**ORS20\_95a; adaptierte CIELAB-Daten**

	$u^*_e$	$L^*=-L^*_a$	$a^*_a$	$b^*_a$	$C^*_{ab,a}$	$h^*_{ab,a}$	$u^*_d$
r00j	47.06	67.41	32.12	74.67	25	m84o	
r25j	53.95	53.38	48.38	72.04	42	o17y	
r50j	63.6	35.87	59.45	69.43	59	o42y	
r75j	73.37	18.14	70.66	72.95	76	o68y	
j00g	85.24	-3.4	84.28	84.35	92	o93y	
j25g	78.53	-25.99	72.23	76.76	110	y24l	
j50g	68.25	-42.61	56.0	70.37	127	y51l	
j75g	58.73	-57.99	40.99	71.02	145	y85l	
g00b	55.66	-58.35	18.71	61.27	162	l12c	
g25b	58.18	-46.2	-7.82	46.86	190	l45c	
g50b	60.08	-37.02	-27.87	46.34	217	l78c	
g75b	55.21	-20.63	-42.98	47.67	244	c16v	
b00r	41.38	1.37	-45.05	45.07	272	c58v	
b25r	26.43	27.03	-46.5	53.78	300	v03m	
b50r	36.22	48.22	-29.42	56.48	329	v54m	
b75r	47.81	72.75	-3.76	72.85	357	m10o	

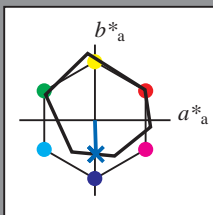


Siehe ähnliche Dateien: <http://www.ps.bam.de/Fg53/>; [www.ps.bam.de/Version 2.1, io=1,1, ColSpx=1](http://www.ps.bam.de/Version 2.1, io=1,1, ColSpx=1)  
 Technische Information: <http://www.ps.bam.de>

BAM-Registrierung: 20081001-Fg53/10L/L53g00NA.TXT/ .PS BAM-Material: Code=rh4ta  
 Anwendung für Beurteilung und Messung von Drucker- oder Monitorssystemen

Ein und Ausgabe: Farbmetrisches Drucker-Reflektiv-System ORS20\_95, L\*=-20\_95 für relative CIELAB-Bunnton  $h^* = lab^*h^* = h_{ab}^*/360 = 0.755$   $u^*_e = b00r$   
 $lab^*tch^*$  und  $lab^*icu^*$

Daten für jede Farbe:  
 $lab^*tch^*$  und  $lab^*icu^*$   
 Bunntontexte:  
 $u^*_e = b00r$   $u^*_d = c58v$   
 Kontrastreduzierungsfaktor:  
 $c_R = 1.0$   
 Dreiecks-Helligkeit  $i^*$



ORS20\_95a; adaptierte CIELAB-Daten

	$u^*_e$	$L^*=-L^*_a$	$a^*_a$	$b^*_a$	$C^*_{ab,a}$	$h^*_{ab,a}$
O <sub>Ma</sub>	46.89	66.19	40.28	77.48	31	
Y <sub>Ma</sub>	88.66	-9.62	88.21	88.73	96	
L <sub>Ma</sub>	54.22	-65.29	33.87	73.56	153	
C <sub>Ma</sub>	61.43	-30.53	-42.04	51.96	234	
V <sub>Ma</sub>	25.93	25.95	-47.37	54.01	299	
M <sub>Ma</sub>	47.92	73.53	-9.02	74.08	353	
N <sub>Ma</sub>	20.41	0.0	0.0	0.0	0	
W <sub>Ma</sub>	94.64	0.0	0.0	0.0	0	
R <sub>Ma</sub>	39.92	58.74	27.99	65.07	25	
J <sub>Ma</sub>	81.26	-2.89	71.56	71.62	92	
G <sub>Ma</sub>	52.23	-42.42	13.6	44.55	162	
B <sub>Ma</sub>	30.57	1.41	-46.47	46.49	272	

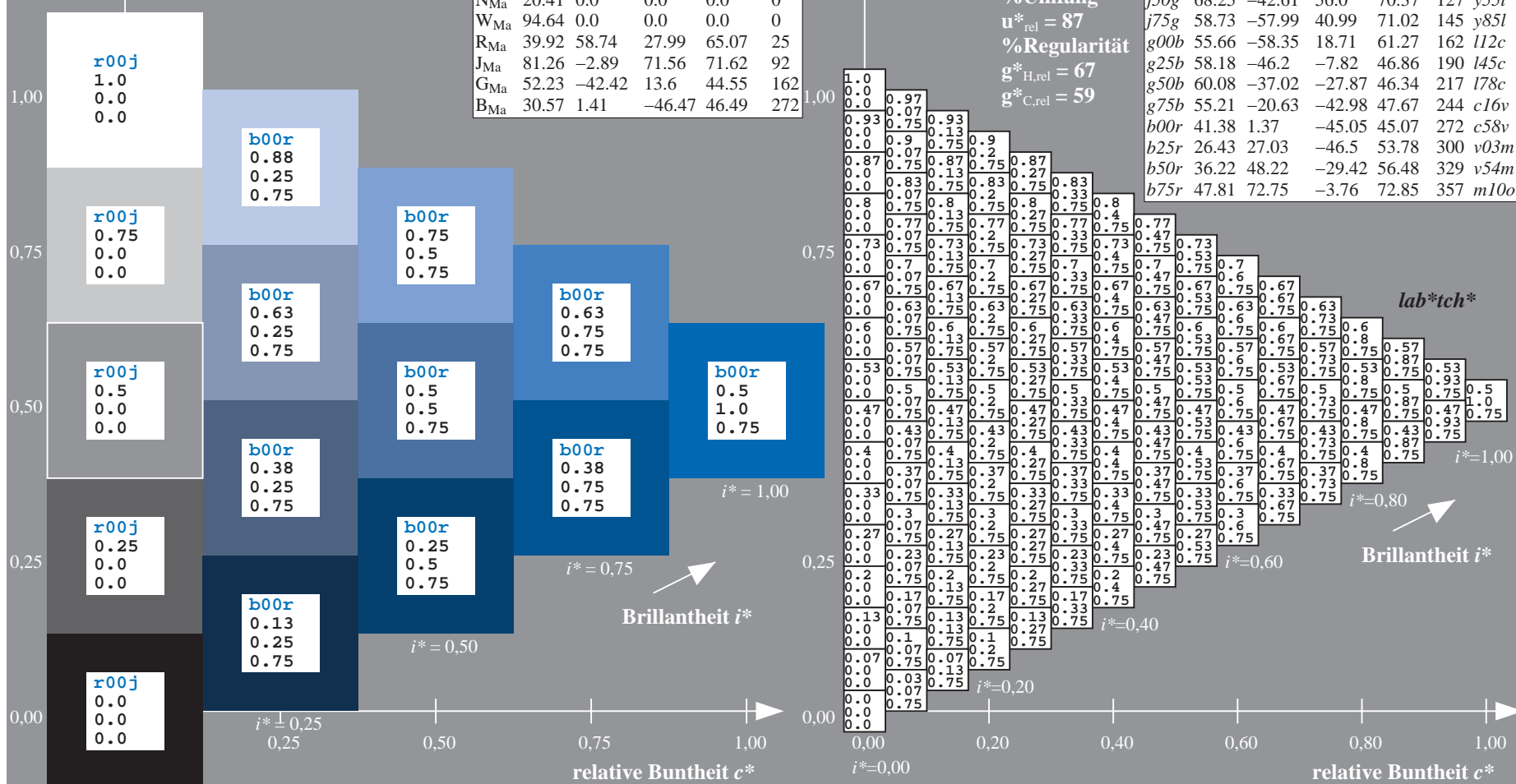
Daten für Maximalfarbe (Ma):

$LAB^*LAB^*_{Ma}$ : 41 1 -45  
 $LAB^*LCH^*_{Ma}$ : 41 45 271  
 $lab^*rgb^*_{Ma}$ : 0.0 0.0 1.0  
 $lab^*olv^*_{Ma}$ : 0.0 0.42 1.0

ORS20\_95a; adaptierte CIELAB-Daten

	$u^*_e$	$L^*=-L^*_a$	$a^*_a$	$b^*_a$	$C^*_{ab,a}$	$h^*_{ab,a}$	$u^*_d$
r00j	47.06	67.41	32.12	74.67	25	m84o	
r25j	53.95	53.38	48.38	72.04	42	o17y	
r50j	63.6	35.87	59.45	69.43	59	o42y	
r75j	73.37	18.14	70.66	72.95	76	o68y	
j00g	85.24	-3.4	84.28	84.35	92	o93y	
j25g	78.53	-25.99	72.23	76.76	110	y24l	
j50g	68.25	-42.61	56.0	70.37	127	y51l	
j75g	58.73	-57.99	40.99	71.02	145	y85l	
g00b	55.66	-58.35	18.71	61.27	162	l12c	
g25b	58.18	-46.2	-7.82	46.86	190	l45c	
g50b	60.08	-37.02	-27.87	46.34	217	l78c	
g75b	55.21	-20.63	-42.98	47.67	244	c16v	
b00r	41.38	1.37	-45.05	45.07	272	c58v	
b25r	26.43	27.03	-46.5	53.78	300	v03m	
b50r	36.22	48.22	-29.42	56.48	329	v54m	
b75r	47.81	72.75	-3.76	72.85	357	m10o	

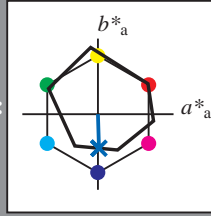
Dreiecks-Helligkeit  $i^*$   
 %Umfang  
 $u^*_{rel} = 87$   
 %Regularität  
 $g^*_{H,rel} = 67$   
 $g^*_{C,rel} = 59$



Siehe ähnliche Dateien: <http://www.ps.bam.de/Fg53/>; [www.ps.bam.de/Fg.HTM](http://www.ps.bam.de/Fg.HTM)  
 Technische Information: <http://www.ps.bam.de> Version 2.1, io=1,1, ColSpx=1

BAM-Registrierung: 20081001-Fg53/10L/L53g00NA.TXT/ .PS BAM-Material: Code=rhatha  
 Anwendung für Beurteilung und Messung von Drucker- oder Monitorssystemen

Ein und Ausgabe: Farbmetrisches Drucker-Reflektiv-System ORS20\_95, L\*=-20\_95 für relative CIELAB-Bunnton  $h^* = lab^*h^* = h^*_{ab}/360 = 0.755$   $u^*_e = b00r$   
 Daten für jede Farbe:  $lab^*tch^*$  und  $lab^*icu^*$   
 $u^*_e = b00r$   $u^*_d = c58v$   
 Kontrastreduzierungsfaktor:  $c_R = 1.0$   
 Dreiecks-Helligkeit  $i^*$



**ORS20\_95a; adaptierte CIELAB-Daten**

	$u^*_e$	$L^*=-L^*_a$	$a^*_a$	$b^*_a$	$C^*_{ab,a}$	$h^*_{ab,a}$
O <sub>Ma</sub>	46.89	66.19	40.28	77.48	31	
Y <sub>Ma</sub>	88.66	-9.62	88.21	88.73	96	
L <sub>Ma</sub>	54.22	-65.29	33.87	73.56	153	
C <sub>Ma</sub>	61.43	-30.53	-42.04	51.96	234	
V <sub>Ma</sub>	25.93	25.95	-47.37	54.01	299	
M <sub>Ma</sub>	47.92	73.53	-9.02	74.08	353	
N <sub>Ma</sub>	20.41	0.0	0.0	0.0	0	
W <sub>Ma</sub>	94.64	0.0	0.0	0.0	0	
R <sub>Ma</sub>	39.92	58.74	27.99	65.07	25	
J <sub>Ma</sub>	81.26	-2.89	71.56	71.62	92	
G <sub>Ma</sub>	52.23	-42.42	13.6	44.55	162	
B <sub>Ma</sub>	30.57	1.41	-46.47	46.49	272	

Daten für Maximalfarbe (Ma):

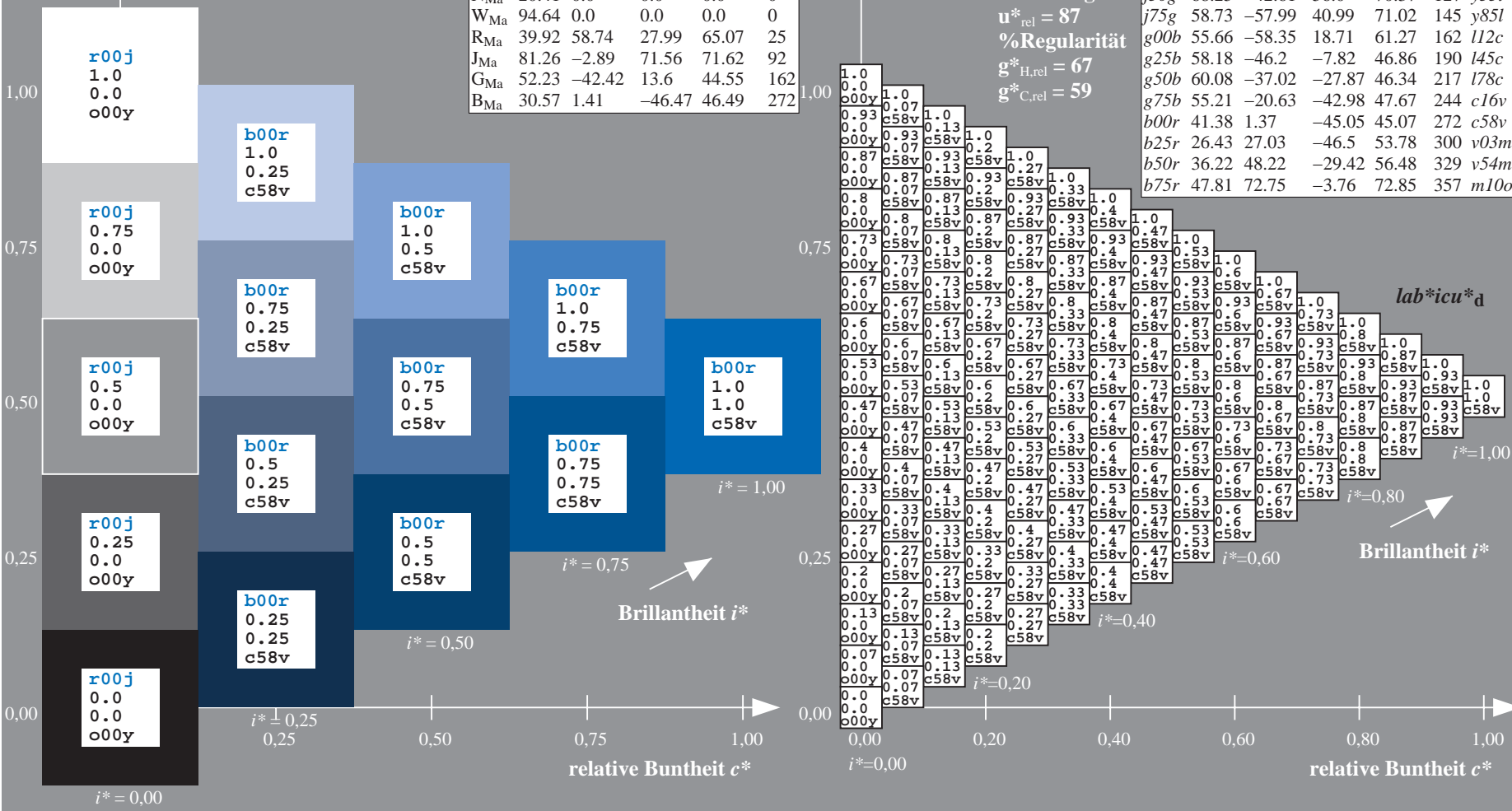
$LAB^*LAB^*_{Ma}$ : 41 1 -45  
 $LAB^*LCH^*_{Ma}$ : 41 45 271  
 $lab^*rgb^*_{Ma}$ : 0.0 0.0 1.0  
 $lab^*olv^*_{Ma}$ : 0.0 0.42 1.0

**ORS20\_95a; adaptierte CIELAB-Daten**

	$u^*_e$	$L^*=-L^*_a$	$a^*_a$	$b^*_a$	$C^*_{ab,a}$	$h^*_{ab,a}$	$u^*_d$
r00j	47.06	67.41	32.12	74.67	25	m84o	
r25j	53.95	53.38	48.38	72.04	42	o17y	
r50j	63.6	35.87	59.45	69.43	59	o42y	
r75j	73.37	18.14	70.66	72.95	76	o68y	
j00g	85.24	-3.4	84.28	84.35	92	o93y	
j25g	78.53	-25.99	72.23	76.76	110	y24l	
j50g	68.25	-42.61	56.0	70.37	127	y55l	
j75g	58.73	-57.99	40.99	71.02	145	y85l	
g00b	55.66	-58.35	18.71	61.27	162	l12c	
g25b	58.18	-46.2	-7.82	46.86	190	l45c	
g50b	60.08	-37.02	-27.87	46.34	217	l78c	
g75b	55.21	-20.63	-42.98	47.67	244	c16v	
b00r	41.38	1.37	-45.05	45.07	272	c58v	
b25r	26.43	27.03	-46.5	53.78	300	v03m	
b50r	36.22	48.22	-29.42	56.48	329	v54m	
b75r	47.81	72.75	-3.76	72.85	357	m10o	

Dreiecks-Helligkeit  $i^*$

%Umfang  
 $u^*_{rel} = 87$   
 %Regularität  
 $g^*_{H,rel} = 67$   
 $g^*_{C,rel} = 59$



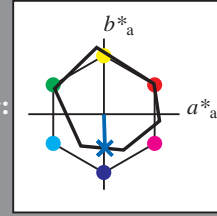
Siehe ähnliche Dateien: <http://www.ps.bam.de/Fg53/>; [www.ps.bam.de/Version 2.1, io=1,1, ColSpx=1](http://www.ps.bam.de/Version 2.1, io=1,1, ColSpx=1)  
 Technische Information: <http://www.ps.bam.de>

BAM-Registrierung: 20081001-Fg53/10L/L53g00NA.TXT/ .PS BAM-Material: Code=rhatha  
 Anwendung für Beurteilung und Messung von Drucker- oder Monitorssystemen



Ein und Ausgabe: Farbmetrisches Drucker-Reflektiv-System ORS20\_95, L\*=-20\_95 für relative CIELAB-Bunnton  $h^* = lab^*h^* = h_{ab}/360 = 0.755$   $u^*_e = b00r$   
 Daten für jede Farbe:  $lab^*ch^*$  und  $lab^*icu^*$  **LAB\*LAB\***

Bunntontexte:  
 $u^*_e = b00r$   $u^*_d = c58v$   
 Kontrastreduzierungsfaktor:  
 $c_R = 1.0$   
 Dreiecks-Helligkeit  $i^*$



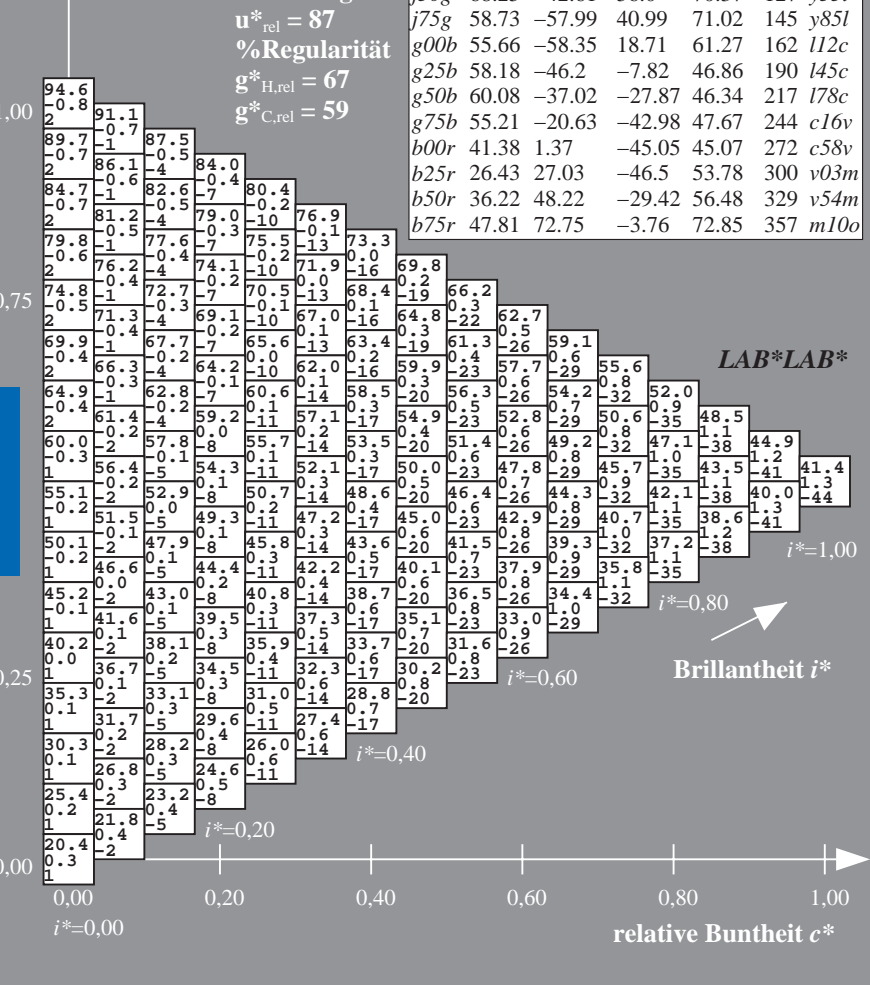
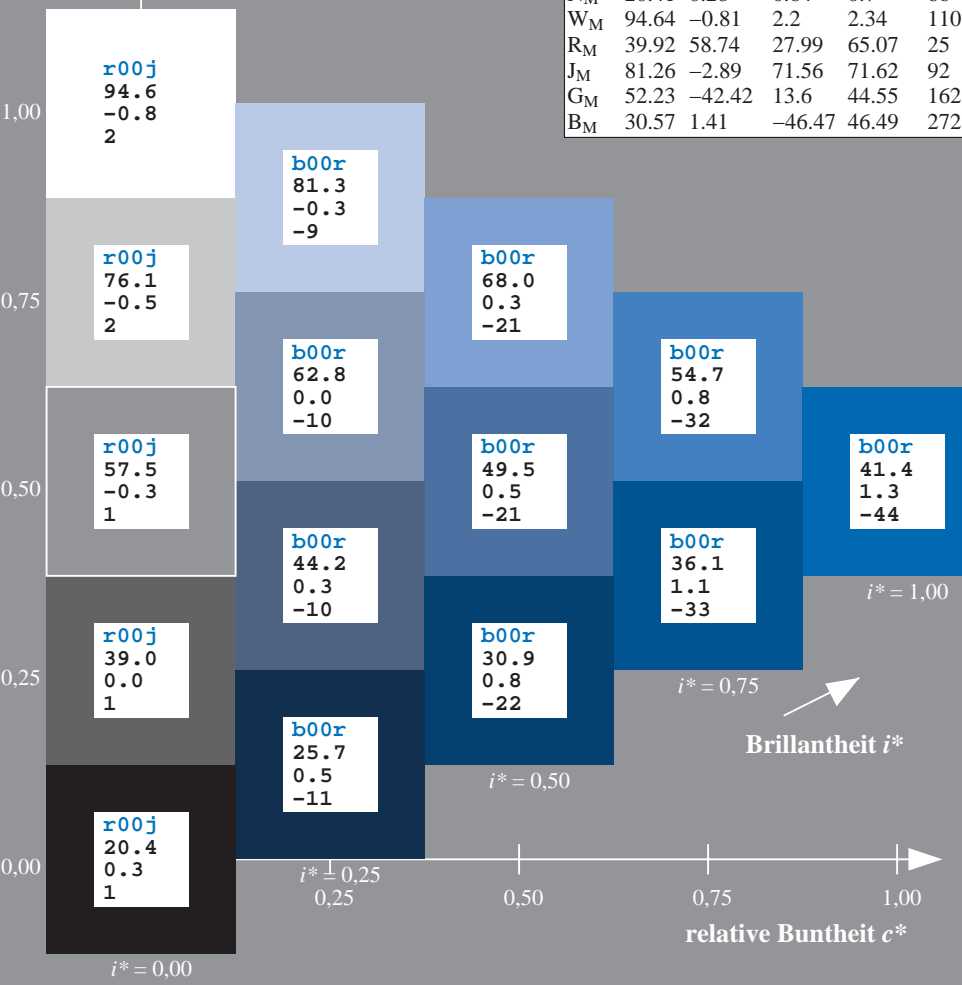
**ORS20\_95; CIELAB-Daten**

	$u^*_e$	$L^*=L^*$	$a^*$	$b^*$	$C^*_{ab}$	$h^*_{ab}$
O <sub>M</sub>	46.89	66.08	41.48	78.02	32	97
Y <sub>M</sub>	88.66	-10.34	90.28	90.87	97	97
L <sub>M</sub>	54.22	-65.51	35.22	74.38	152	97
C <sub>M</sub>	61.43	-30.85	-40.54	50.94	233	97
V <sub>M</sub>	25.93	26.15	-46.61	53.44	299	97
M <sub>M</sub>	47.92	73.41	-7.8	73.82	354	97
N <sub>M</sub>	20.41	0.28	0.64	0.7	66	97
W <sub>M</sub>	94.64	-0.81	2.2	2.34	110	97
R <sub>M</sub>	39.92	58.74	27.99	65.07	25	97
J <sub>M</sub>	81.26	-2.89	71.56	71.62	92	97
G <sub>M</sub>	52.23	-42.42	13.6	44.55	162	97
B <sub>M</sub>	30.57	1.41	-46.47	46.49	272	97

Daten für Maximalfarbe (Ma):  
 $LAB^*LAB^*_{Ma}: 41\ 1\ -45$   
 $LAB^*LCH^*_{Ma}: 41\ 45\ 271$   
 $lab^*rgb^*_{Ma}: 0.0\ 0.0\ 1.0$   
 $lab^*olv^*_{Ma}: 0.0\ 0.42\ 1.0$   
 Dreiecks-Helligkeit  $i^*$

**ORS20\_95a; adaptierte CIELAB-Daten**

	$u^*_e$	$L^*=L^*_a$	$a^*_a$	$b^*_a$	$C^*_{ab,a}$	$h^*_{ab,a}$	$u^*_d$
r00j	47.06	67.41	32.12	74.67	25	m84o	
r25j	53.95	53.38	48.38	72.04	42	o17y	
r50j	63.6	35.87	59.45	69.43	59	o42y	
r75j	73.37	18.14	70.66	72.95	76	o68y	
j00g	85.24	-3.4	84.28	84.35	92	o93y	
j25g	78.53	-25.99	72.23	76.76	110	y24l	
j50g	68.25	-42.61	56.0	70.37	127	y55l	
j75g	58.73	-57.99	40.99	71.02	145	y85l	
g00b	55.66	-58.35	18.71	61.27	162	l12c	
g25b	58.18	-46.2	-7.82	46.86	190	l45c	
g50b	60.08	-37.02	-27.87	46.34	217	l78c	
g75b	55.21	-20.63	-42.98	47.67	244	c16v	
b00r	41.38	1.37	-45.05	45.07	272	c58v	
b25r	26.43	27.03	-46.5	53.78	300	v03m	
b50r	36.22	48.22	-29.42	56.48	329	v54m	
b75r	47.81	72.75	-3.76	72.85	357	m10o	

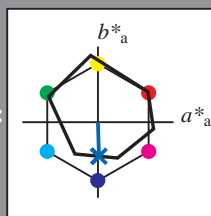


Siehe ähnliche Dateien: <http://www.ps.bam.de/Fg53/>; [www.ps.bam.de/Fg53/HTM](http://www.ps.bam.de/Fg53/HTM)  
 Technische Information: <http://www.ps.bam.de> Version 2.1, io=1,1, ColSpx=1

BAM-Registrierung: 20081001-Fg53/10L/L53g00NA.TXT/ .PS BAM-Material: Code=rhatha  
 Anwendung für Beurteilung und Messung von Drucker- oder Monitorssystemen

Ein und Ausgabe: Farbmetrisches Drucker-Reflektiv-System ORS20\_95, L\*=-20\_95 für relative CIELAB-Bunnton  $h^* = lab^*h^* = h_{ab}/360 = 0.755$   $u^*_e = b00r$   
 $lab^*olv^*$

Daten für jede Farbe:  
 $lab^*tch^*$  und  $lab^*icu^*$   
 Bunntontexte:  
 $u^*_e = b00r$   $u^*_d = c58v$   
 Kontrastreduzierungsfaktor:  
 $c_R = 1.0$   
 Dreiecks-Helligkeit  $i^*$



ORS20\_95a; CIELAB-Daten

$u^*_e$	$L^*=L^*$	$a^*$	$b^*$	$C^*_{ab}$	$h^*_{ab}$
O <sub>M</sub>	46.89	66.08	41.48	78.02	32
Y <sub>M</sub>	88.66	-10.34	90.28	90.87	97
L <sub>M</sub>	54.22	-65.51	35.22	74.38	152
C <sub>M</sub>	61.43	-30.85	-40.54	50.94	233
V <sub>M</sub>	25.93	26.15	-46.61	53.44	299
M <sub>M</sub>	47.92	73.41	-7.8	73.82	354
N <sub>M</sub>	20.41	0.28	0.64	0.7	66
W <sub>M</sub>	94.64	-0.81	2.2	2.34	110
R <sub>M</sub>	39.92	58.74	27.99	65.07	25
J <sub>M</sub>	81.26	-2.89	71.56	71.62	92
G <sub>M</sub>	52.23	-42.42	13.6	44.55	162
B <sub>M</sub>	30.57	1.41	-46.47	46.49	272

Daten für Maximalfarbe (Ma):

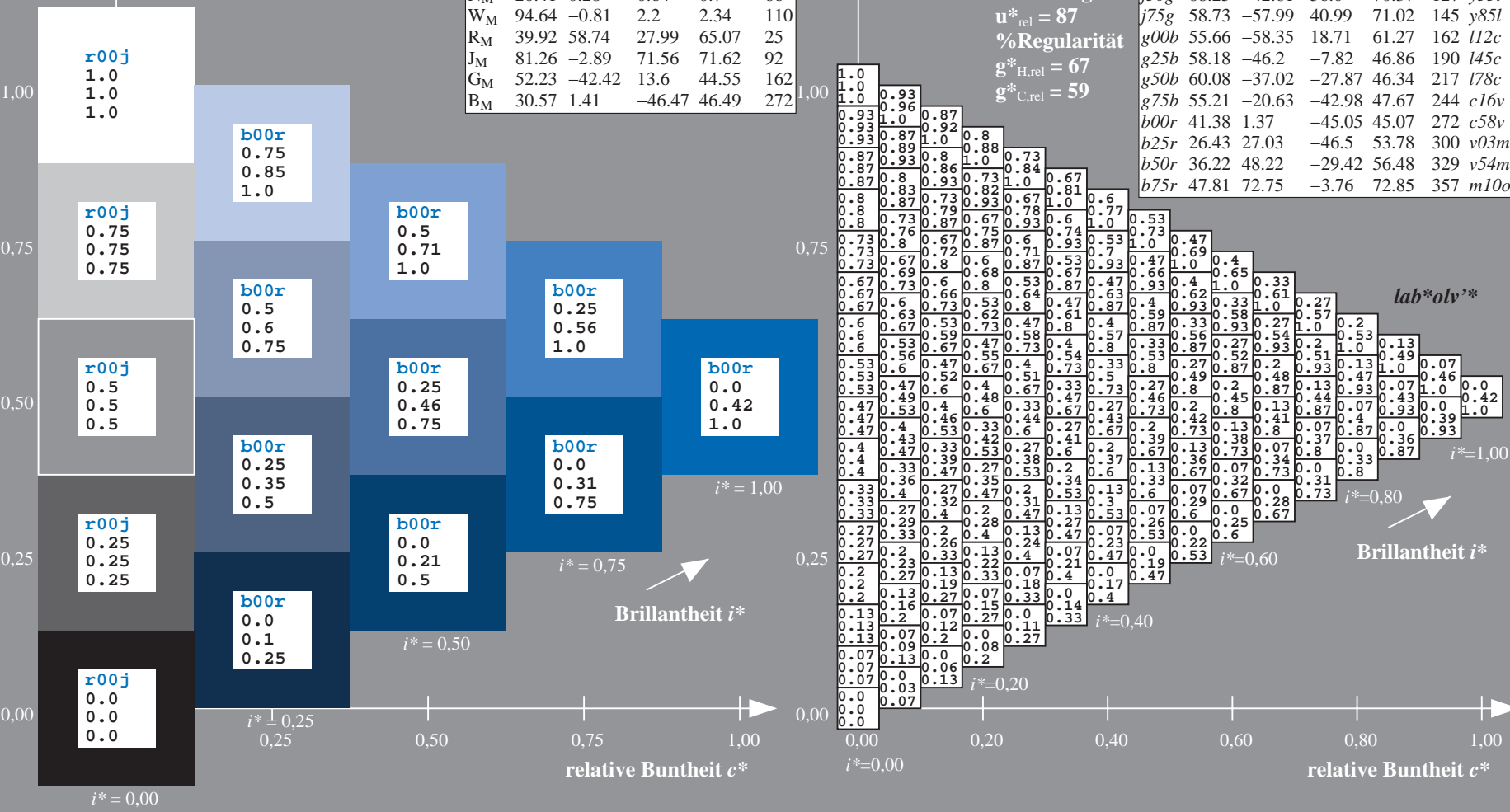
$LAB^*LAB^*_{Ma}$ : 41 1 -45  
 $LAB^*LCH^*_{Ma}$ : 41 45 271  
 $lab^*rgb^*_{Ma}$ : 0.0 0.0 1.0  
 $lab^*olv^*_{Ma}$ : 0.0 0.42 1.0

ORS20\_95a; adaptierte CIELAB-Daten

$u^*_e$	$L^*=-L^*_a$	$a^*_a$	$b^*_a$	$C^*_{ab,a}$	$h^*_{ab,a}$	$u^*_d$
r00j	47.06	67.41	32.12	74.67	25	m84o
r25j	53.95	53.38	48.38	72.04	42	o17y
r50j	63.6	35.87	59.45	69.43	59	o42y
r75j	73.37	18.14	70.66	72.95	76	o68y
j00g	85.24	-3.4	84.28	84.35	92	o93y
j25g	78.53	-25.99	72.23	76.76	110	y24l
j50g	68.25	-42.61	56.0	70.37	127	y55l
j75g	58.73	-57.99	40.99	71.02	145	y85l
g00b	55.66	-58.35	18.71	61.27	162	l12c
g25b	58.18	-46.2	-7.82	46.86	190	l45c
g50b	60.08	-37.02	-27.87	46.34	217	l78c
g75b	55.21	-20.63	-42.98	47.67	244	c16v
b00r	41.38	1.37	-45.05	45.07	272	c58v
b25r	26.43	27.03	-46.5	53.78	300	v03m
b50r	36.22	48.22	-29.42	56.48	329	v54m
b75r	47.81	72.75	-3.76	72.85	357	m10o

Dreiecks-Helligkeit  $i^*$

%Umfang  
 $u^*_{rel} = 87$   
 %Regularität  
 $g^*_{H,rel} = 67$   
 $g^*_{C,rel} = 59$



BAM-Registrierung: 20081001-Fg53/10L/L53g00NA.TXT/ .PS BAM-Material: Code=rh4ta  
 Anwendung für Beurteilung und Messung von Drucker- oder Monitorssystemen

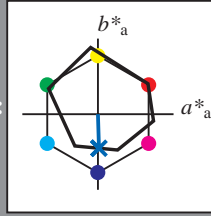
Ein und Ausgabe: Farbmetrisches Drucker-Reflektiv-System ORS20\_95, L\*=-20\_95 für relativen CIELAB-Buntton  $h^* = lab^*h^* = h_{ab}^*/360 = 0.755$   $u^*_e = b00r$

Daten für jede Farbe:  
 $lab^*tch^*$  und  $lab^*icu^*$

Bunttontexte:  
 $u^*_e = b00r$   $u^*_d = c58v$

Kontrastreduzierungsfaktor:  
 $c_R = 1.0$

Dreiecks-Helligkeit  $i^*$



ORS20_95a; CIELAB-Daten						
$u^*_e$	$L^*=L^*_a$	$a^*$	$b^*$	$C^*_{ab}$	$h^*_{ab}$	
O <sub>M</sub>	46.89	66.08	41.48	78.02	32	
Y <sub>M</sub>	88.66	-10.34	90.28	90.87	97	
L <sub>M</sub>	54.22	-65.51	35.22	74.38	152	
C <sub>M</sub>	61.43	-30.85	-40.54	50.94	233	
V <sub>M</sub>	25.93	26.15	-46.61	53.44	299	
M <sub>M</sub>	47.92	73.41	-7.8	73.82	354	
N <sub>M</sub>	20.41	0.28	0.64	0.7	66	
W <sub>M</sub>	94.64	-0.81	2.2	2.34	110	
R <sub>M</sub>	39.92	58.74	27.99	65.07	25	
J <sub>M</sub>	81.26	-2.89	71.56	71.62	92	
G <sub>M</sub>	52.23	-42.42	13.6	44.55	162	
B <sub>M</sub>	30.57	1.41	-46.47	46.49	272	

Daten für Maximalfarbe (Ma):

$LAB^*LAB^*_{Ma}$ : 41 1 -45

$LAB^*LCH^*_{Ma}$ : 41 45 271

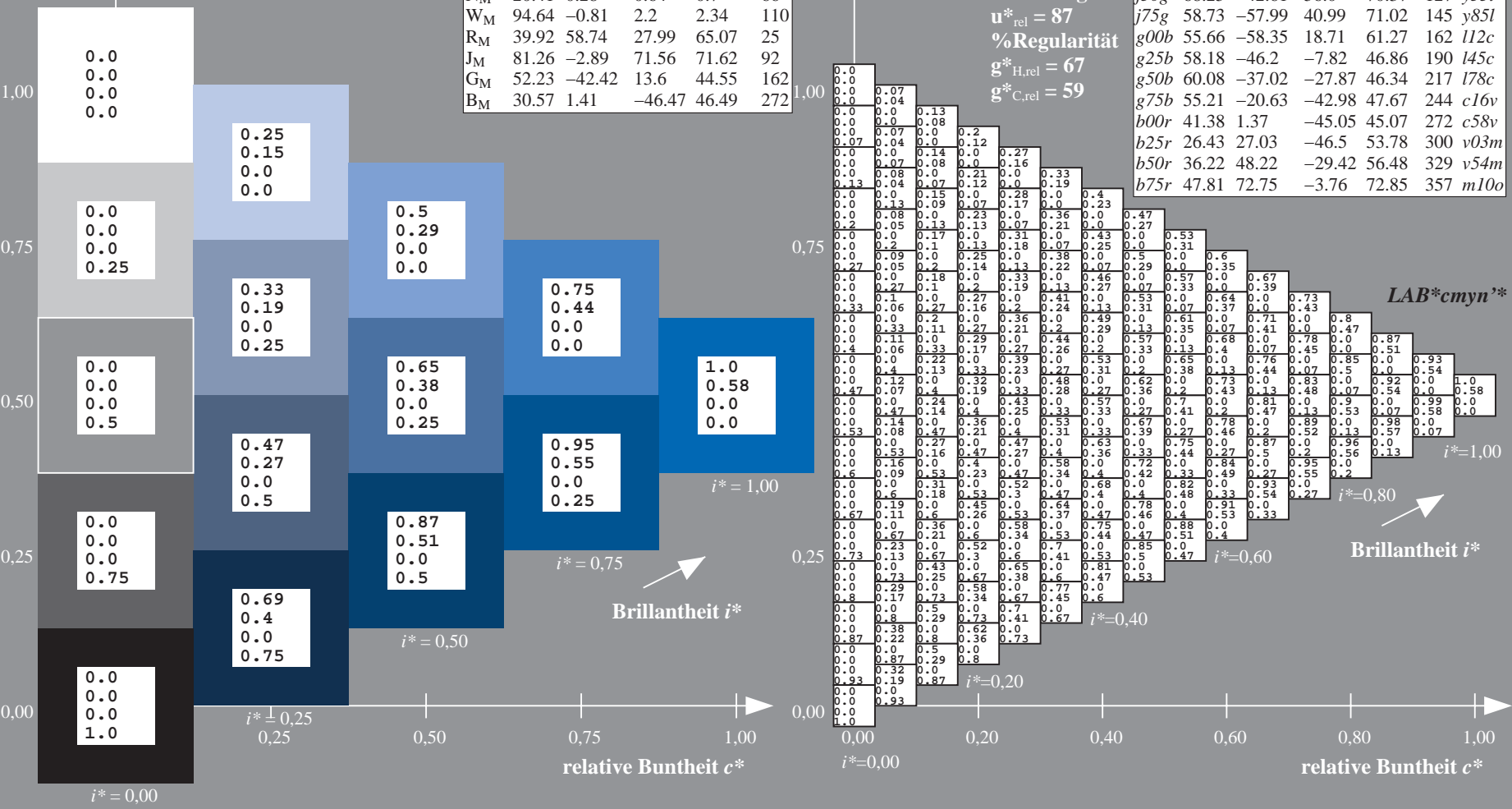
$lab^*rgb^*_{Ma}$ : 0.0 0.0 1.0

$lab^*olv^*_{Ma}$ : 0.0 0.42 1.0

Dreiecks-Helligkeit  $i^*$

%Umfang  
 $u^*_{rel} = 87$   
 %Regularität  
 $g^*_{H,rel} = 67$   
 $g^*_{C,rel} = 59$

ORS20_95a; adaptierte CIELAB-Daten							
$u^*_e$	$L^*=L^*_a$	$a^*_a$	$b^*_a$	$C^*_{ab,a}$	$h^*_{ab,a}$	$u^*_d$	
r00j	47.06	67.41	32.12	74.67	25	m84o	
r25j	53.95	53.38	48.38	72.04	42	o17y	
r50j	63.6	35.87	59.45	69.43	59	o42y	
r75j	73.37	18.14	70.66	72.95	76	o68y	
j00g	85.24	-3.4	84.28	84.35	92	o93y	
j25g	78.53	-25.99	72.23	76.76	110	y24l	
j50g	68.25	-42.61	56.0	70.37	127	y54l	
j75g	58.73	-57.99	40.99	71.02	145	y85l	
g00b	55.66	-58.35	18.71	61.27	162	l12c	
g25b	58.18	-46.2	-7.82	46.86	190	l45c	
g50b	60.08	-37.02	-27.87	46.34	217	l78c	
g75b	55.21	-20.63	-42.98	47.67	244	c16v	
b00r	41.38	1.37	-45.05	45.07	272	c58v	
b25r	26.43	27.03	-46.5	53.78	300	v03m	
b50r	36.22	48.22	-29.42	56.48	329	v54m	
b75r	47.81	72.75	-3.76	72.85	357	m10o	



BAM-Registrierung: 20081001-Fg53/10L/L53g00NA.TXT/ .PS BAM-Material: Code=rhatha  
 Anwendung für Beurteilung und Messung von Drucker- oder Monitorssystemen